

## ОПТИМАЛЬНОЕ РАСПРЕДЕЛЕНИЕ ПОЛЯ В ПЕРИСКОПИЧЕСКОЙ АНТЕННЕ СО СТАБИЛИЗАЦИЕЙ ДИАГРАММЫ НАПРАВЛЕННОСТИ

Широкое применение в радиотехнике нашли перископические антенные системы, использующие переотражатели в виде плоского или параболического зеркала [1]. Обычно в такой системе сложный излучатель располагают на уровне основания антенной опоры, а переотражатель устанавливают на ее вершине. Энергия излучателя на значительной высоте переотражается в заданном направлении. При этом потери энергии на участке излучатель—переотражатель малы, так как ее передача осуществляется направленным лучом. Значительная высота опоры неизбежно влечет качание ее вершины, на которой расположен переизлучатель. В результате он претерпевает параллельные и угловые смещения при изгибе опоры, что, в свою очередь, ведет к отклонению диаграммы направленности системы.

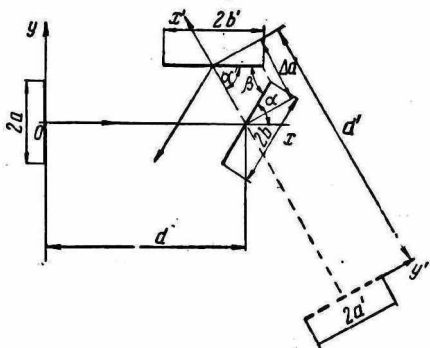


Рис. 1.

Возможно построить перископическую антенну, у которой качание переотражателя не будет влиять на направление максимального излучения. Примером может служить система с переотражателем, содержащим два плоских зеркала, расположенных под некоторым углом друг к другу [2].

В этом случае электромагнитная волна последовательно отражается от одного зеркала к другому. Такое усложнение дает возможность стабилизировать направление максимума диаграммы направленности при качании переотражателя, а также позволяет увеличить КНД системы за счет использования более узкой диаграммы направленности.

В работе определяется оптимальное амплитудно-фазовое распределение поля в раскрытии основного излучателя, т. е. рас-

пределение поля или токов, которое обеспечивает максимальный коэффициент направленного действия системы в целом.

Задачу будем решать для идеализированной перископической антенны, изображенной на рис. 1, у которой вдоль оси  $Z$  размеры излучателя и переотражателя бесконечны. На рис. 1 слева расположен плоский излучающий раскрыв шириной  $2a$ , возбужденный линейно-поляризованным полем, справа — первое переотражающее зеркало шириной  $2b$ . Второе зеркало  $2b'$  образует угол  $\alpha'$  с направлением луча, отраженным первым зеркалом. Расстояние между центрами раскрывов излучателя и первого зеркала переизлучателя обозначим  $d$ , а расстояние между центрами переотражающих зеркал  $\Delta d$ .

Далее полагаем, что основные геометрические размеры для излучателя и отражающих зеркал и длина волны удовлетворяют следующим неравенствам:

$$\frac{a}{\lambda} \gg 1; \quad \frac{b}{\lambda} \gg 1; \quad \frac{d}{a} \gg 1; \quad \frac{d}{b} \gg 1; \quad d < \frac{(a+b)^2}{\lambda}; \quad (1)$$

$$\frac{b'}{\lambda} \gg 1; \quad \frac{d}{b'} \gg 1; \quad \frac{\Delta d}{b} \approx 1; \quad b \approx b'; \quad d < \frac{(a+b')^2}{\lambda}. \quad (2)$$

Особенность работы такой перископической системы состоит в том, что переотражатель находится в зоне Френеля основного излучателя и поле на первом зеркале переотражателя можно искать в приближении Френеля. Для определения поля на втором зеркале переотражателя нельзя использовать приближение Френеля, так как расстояние между зеркалами и их размер одного порядка. Ввиду того что размеры обоих зеркал переотражателя значительно больше длины волны, а расстояние между ними (близко к их линейным размерам, распространение электромагнитного поля между зеркалами можно рассматривать в приближении геометрической оптики.

С целью определения оптимального распределения поля в раскрыве излучателя повернем его на угол  $\alpha$  и установим на расстоянии  $d' = d + \Delta d$  от второго зеркала переотражателя, как изображено пунктиром на рис. 1, а первое зеркало уберем. В этом случае направление результирующего максимального излучения остается таким, каким оно было до поворота излучателя. При этом можно рассматривать перископическую систему как антенну с одним плоским переотражателем. Известно [3], что выражения для оптимального распределения поля в раскрыве излучателя перископической антенной системы с плоским бесконечно протяженным в направлении оси  $Z$  излучателем и переизлучателем имеют следующий вид:

$$\varepsilon_{\text{опт}} = A \int_{-b}^b H_0^{(1)}(kR) e^{-ik\xi \cos \alpha} d\xi, \quad (3)$$

где  $H_0^{(1)}$  — функция Ханкеля;

$k = \frac{2\pi}{\lambda}$  — волновое число;

$R$  — расстояние между точкой интегрирования  $|0, y|$  и точкой наблюдения.

Для однозеркального переотражателя

$$R = \sqrt{(d + \xi \cos \alpha)^2 + (\xi \sin \alpha - y)^2}, \quad -b \leq \xi \leq b \quad (4)$$

( $\alpha$  — угол между плоским переотражающим зеркалом шириной  $2b$  и осью  $X$ ).

Для случая приведения двухзеркального переизлучателя к однозеркальному выражение для расстояния  $R'$  между точкой интегрирования  $|0, y|$  и точкой наблюдения принимает вид

$$R' = \sqrt{[d' - \xi' \cos(\alpha + \beta)]^2 + [\xi' \sin(\alpha + \beta) - y']^2}; \quad (5)$$

$$d' = d + \Delta d; \quad -b' \leq \xi' \leq b'.$$

Так как

$$\alpha' = 180 - (\alpha + \beta),$$

где  $\alpha'$  — угол между вторым зеркалом шириной  $2b'$  и осью  $X'$ ;

$\beta$  — угол между зеркалами переизлучателя,

то

$$\cos \alpha' = -\cos(\alpha + \beta)$$

( $X', Y'$  — значение координат в системе с предполагаемым поворотом излучателя).

Подставляя значение  $R'$  (5) в уравнение (3), получаем развернутое выражение для оптимального распределения поля в раскрыве излучателя перископической системы:

$$\epsilon_{\text{опт}} = A \int_{-b''}^{b''} H_0^{(1)}(k \sqrt{[d' - \xi' \cos(\alpha + \beta)]^2 + [\xi' \sin(\alpha + \beta) - y']^2}) \times \\ \times e^{jk\xi' \cos(\alpha + \beta)} d\xi', \quad (6)$$

где  $b'' = b \frac{\cos \alpha}{\cos(\beta - \alpha)}$  — половина размера проекции пятна поля вдоль стороны  $b'$ , отраженного первым зеркалом на второе.

Из полученного выражения следует, что оптимальное распределение зависит от угла наклона  $\alpha$  первого зеркала, а также от угла между зеркалами переотражателя. Очевидно, что угол

наклона второго зеркала переотражателя  $\alpha'$  однозначно определяется углами  $\alpha$  и  $\beta$ . Таким образом, оптимальное распределение поля в раскрыве излучателя зависит от углов  $\alpha$  и  $\beta$ , либо от  $\alpha'$  и  $\beta$ . Это следует также из того, что переотражение происходит по законам геометрической оптики и каждой точке одного зеркала, на которую падает луч, однозначно соответствует точка второго зеркала переотражателя, в которую луч переотражается. Взаимное соответствие точек зависит от величины углов  $\alpha$ ,  $\alpha'$  и  $\beta$ .

Рассмотрим частный случай, при котором второе зеркало переотражателя расположено перпендикулярно к плоскости раскрыва излучателя. При этом угол  $\alpha$  равен углу  $\beta$  и выражение (5) принимает вид

$$R' = \sqrt{(d' - \xi' \cos 2\alpha')^2 + (\xi' \sin 2\alpha - y')^2}. \quad (5a)$$

Подставляя (5a) в уравнение (6), получаем выражение для оптимального распределения поля:

$$\epsilon_{\text{опт}} = A \int_{-b'}^{b'} H_0^{(1)}(k\sqrt{[d' - \xi' \cos 2\alpha]^2 + [\xi' \sin 2\alpha - y']^2}) \times \\ \times e^{jk\xi \cos 2\alpha} d\xi'. \quad (6a)$$

Из работы [3] известно, что оптимальный КНД перископической системы с оптимальным распределением по сравнению с системой, имеющей спадающее к краям синфазное поле в раскрыве, можно записать следующим образом:

$$D = \frac{2\gamma a + \sin 2\gamma a}{2\gamma} \frac{\int_{-a}^a |G(y, \alpha)|^2 dy}{\left| \int_{-a}^a \cos \gamma y G(y, \alpha) dy \right|^2}, \quad (7)$$

где

$$G(y, \alpha) = \frac{\omega \epsilon}{2} \int_{-b}^b H_0^{(2)}(kR) e^{jk\xi \cos \alpha} d\xi.$$

Для перископической системы с двухзеркальным переотражателем в соответствии с принятыми обозначениями величин относительный коэффициент направленного действия принимает вид

$$D = \frac{2\gamma a + \sin 2\gamma a}{2\gamma} \frac{\int_{-a}^a |G(y', \alpha')|^2 dy'}{\left| \int_{-a}^a \cos \gamma y' G(y', \alpha') dy' \right|^2}, \quad (8)$$

где

$$G(y', \alpha') = \frac{\omega e}{2} \int_{-b''}^{b''} H_0^{(2)}(kR') e^{-jk \cos(\alpha + \beta)} d\xi',$$

а значение  $R$  определяется выражением (5).

Чтобы перейти в выражении (8) к приближению зоны Френеля, используем асимптотические формулы для  $H_0^{(1)}(kR')$  и  $H_0^{(2)}(kR')$ , положив в выражении для фазы вместо (5)

$$R' \approx d' - \xi' \cos(\alpha + \beta) - \xi' \frac{y'}{d'} \sin(\alpha + \beta) + \frac{\xi'^2}{2d'} \sin^2(\alpha + \beta) + \frac{y'^2}{2d'},$$

а в знаменателе  $R' \approx d'$ .

После преобразований

$$H_0^{(1,2)}(kR') \approx A e^{\pm jk \{ (\xi' \sin(\alpha + \beta) - y')^2 / 2d' \}} \times e^{\pm jk \xi' \cos(\alpha + \beta)}. \quad (9)$$

Следовательно,

$$\varepsilon_{\text{отр}} = E \int_{\widehat{b''}}^{\widehat{b''}} e^{jk |(\xi' - y')^2 / 2d'} d\xi', \quad (10)$$

где

$$\widehat{b''} = b'' \sin(\alpha + \beta).$$

Подставляя в (8) выражения (9) и (10), получаем уравнение, определяющее относительный коэффициент направленного действия для периодической антенной системы с переотражателем в виде двух плоских зеркал:

$$D = \frac{2\gamma a + \sin 2\gamma a}{2\gamma} \frac{\int_{-a}^a \left| \int_{\widehat{b''}}^{\widehat{b''}} e^{-jk |(\xi' - y')^2 / 2d'} d\xi' \right|^2 dy'}{\left| \int_{-a}^a \cos \gamma y \int_{\widehat{b''}}^{\widehat{b''}} e^{-jk |(\xi' - y')^2 / 2d'} d\xi' dy' \right|}. \quad (11)$$

Интегралы по  $\xi$  выражаются через интегралы Френеля:

$$\int_{\widehat{b''}}^{\widehat{b''}} e^{\pm jk |(\xi' - y')^2 / 2d'} d\xi' = \sqrt{\frac{\pi d'}{k}} \{ [C(t_2) + C(t_1)] \mp j [S(t_2) + S(t_1)] \}, \quad (12)$$

где

$$C(x) + jS(x) = \sqrt{\frac{2}{\pi}} \int_0^x e^{jt^2} dt;$$

$$t_1 = \sqrt{k/2d'} (\widehat{b''} + y'); \quad t_2 = \sqrt{k/2d'} (\widehat{b''} - y').$$

Из формул (10), (12) следует, что характер оптимального распределения  $E_{\text{опт}}$  зависит от  $\alpha$  — угла наклона первого зеркала, а также от  $\beta$  — угла между зеркалами переизлучателя. Оптимальное распределение зависит также от размера первого зеркала, так как  $\widehat{b}'' = b'' \sin(\alpha + \beta)$ , а  $b''$  определяется выражением  $b'' = b \frac{\cos \alpha}{\cos(\beta - \alpha)}$ . Приведенные соотношения для  $b''$  справедливы при условии, что размеры второго зеркала больше проекции на него первого зеркала при допустимых углах  $\alpha$  и  $\beta$ .

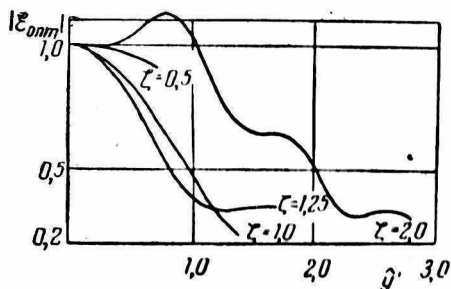


Рис. 2.

Полученные выражения подобны тем, которые описывают оптимальное амплитудно-фазовое распределение поля в раскрытии излучателя перископической антенны с переотражателем в виде плоского зеркала. Следовательно, зависимости, полученные для антенны с однозеркальным переотражателем [3], применимы для перископической антенны с двухзеркальным переотражателем при условии, что аргумент функции  $|E_{\text{опт}}|$  и параметры кривых, изображенных на рис. 2, 3, будут представлены эквивалентными выражениями.

Так, на рис. 2 и 3 соответственно представлены семейства кривых  $E_{\text{опт}}$  и  $\arg E_{\text{опт}}$ , в функции аргумента  $\widehat{y}' = \sqrt{k'/2(d + \Delta d)} y'$  для различных значений параметра  $\zeta = \sqrt{k/2(d + \Delta d)} \widehat{b}''$ , где  $\widehat{b}'' = b'' \cos(\alpha + \beta)$ , а  $b''$  определяется уравнением  $b'' = b \times \frac{\cos \alpha}{\cos(\beta - \alpha)}$ , откуда

$$\zeta = \sqrt{k/2(d + \Delta d)} b \frac{\cos \alpha \cos(\alpha + \beta)}{\cos(\beta - \alpha)}$$

Кривые  $|E_{\text{опт}}| = f(\widehat{y}')$  нормированы к единице в центре раскрытия. Так как функция четная, на графиках, изображенных на рис. 2 и 3 распределения  $|E_{\text{опт}}|$  и  $\arg E_{\text{опт}}$  представлены только на положительной половине раскрытия излучателя. Значение  $\kappa = \widehat{a}/\widehat{b}''$  при расчете кривых принято постоянным, равным 1,4.

В связи с этим максимальные интервалы изменения  $y' = \sqrt{k/2d'} a$  различны для разных значений  $\zeta$ , так как, используя выражения для  $\hat{y}'_{\max}$ ,  $\zeta$  и  $\kappa$ , мы можем получить зависимость  $\hat{y}' = \kappa \zeta$  или для  $\kappa = 1,4$   $\hat{y}'_{\max} = 1,4 \zeta$ . Ход всех кривых для  $E_{\text{опт}}$  и  $\arg \varepsilon_{\text{опт}}$  сравнительно плавный, спадающий к краям,

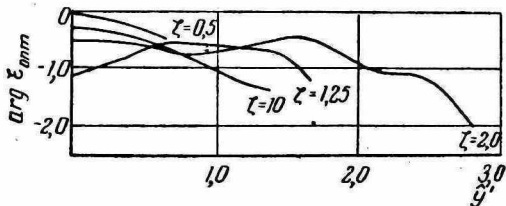


Рис. 3.

что позволяет реализовать оптимальное распределение амплитуд и фаз при некоторых значениях параметра  $\zeta$  с помощью зеркальных антенн.

#### ЛИТЕРАТУРА

1. Покрас А. М. Перископические антенны и беспроводные линии передачи. М., Связьиздат, 1963, 1198 с.
2. Brodhage Helmut. Patent DBP 1127413, 21 september, 1960.
3. Фельд Я. Н. Об оптимальных амплитудно-фазовых распределениях в плоских перископических системах.— «Радиотехника и электроника», 1967, т. XII, вып. 2, с. 229—236.